

АНТЕННО-ФИДЕРНЫЕ  
СИСТЕМЫ

УДК 621.396.67

СИНТЕЗ ДВУХЗЕРКАЛЬНОЙ БИФОКАЛЬНОЙ ЦИЛИНДРИЧЕСКОЙ  
СИСТЕМЫ С МИНИМАЛЬНЫМИ АБЕРРАЦИЯМИ© 2022 г. В. А. Калошин<sup>а, \*</sup>, Ви Ут Нам<sup>б</sup><sup>а</sup> Институт радиотехники и электроники им. В.А. Котельникова РАН,  
ул. Моховая, 11, стр. 7, Москва, 125007 Российская Федерация<sup>б</sup> Московский физико-технический институт (национальный исследовательский университет),  
Институтский пер., 9, Долгопрудный Московской обл., 141700 Российская Федерация

\*E-mail: vak@cplire.ru

Поступила в редакцию 12.01.2021 г.

После доработки 10.03.2021 г.

Принята к публикации 17.03.2021 г.

Развита методика синтеза цилиндрических двухзеркальных бифокальных систем с использованием последовательного нахождения участков зеркал и заданием начального участка вспомогательного зеркала в виде полинома второй и четвертой степени. Один из коэффициентов полиномов определен в результате решения найденного в работе уравнения, которое в общем случае обеспечивает непрерывность вторых производных функций, описывающих поверхности зеркал. Начальный участок главного зеркала найден в результате решения задачи синтеза плоского фронта для центрального положения источника. Определены параметры оптимизации с целью минимизации величины средне-квадратической aberrации при фиксированном расстоянии между зеркалами и угле зрения бифокальной системы. На плоскости этих параметров для углов зрения 50, 70 и 105 град найдены границы области существования решения задачи синтеза и приведены зависимости величины средне-квадратической aberrации от параметров, при этом показано, что ее минимум достигается на границе области существования решения и найден набор параметров, обеспечивающих этот минимум.

DOI: 10.31857/S003384942202005X

## ВВЕДЕНИЕ

Бифокальные двухзеркальные системы позволяют расширить угол зрения по сравнению с однозеркальными и апланатическими двухзеркальными системами. В связи с этим синтезу бифокальных систем посвящено большое количество работ [1–14].

В работе [14] на основе известного подхода [1–6] развита методика точного решения задачи синтеза цилиндрических бифокальных двухзеркальных систем в приближении геометрической оптики. В рамках развитой методики осуществлен выбор начальных участков зеркал и обеспечена непрерывность функций, описывающих форму зеркал, и их производных. Непрерывность вторых производных этих функций, которая обеспечивает непрерывность отраженных полей в первом приближении геометрической оптики, была реализована приближенно. Форма начальных участков зеркал при этом задавалась в виде отрезков парабол, один из коэффициентов которых был найден путем численной минимизации скачка второй производной на границах соседних участков зеркал. При этом вопрос о том, обеспечивают ли найденные решения задачи синтеза двухзеркальной системы для заданно-

го угла зрения минимальную среднеквадратическую aberrацию (СКА) остался открытым.

Цель данной работы – дальнейшее развитие методики синтеза и оптимизации цилиндрических бифокальных двухзеркальных систем с целью реализации минимальной СКА в заданном угле зрения. При этом в процессе синтеза задается начальный участок только одного из зеркал.

1. МЕТОДИКА СИНТЕЗА  
БИФОКАЛЬНОЙ ДВУХЗЕРКАЛЬНОЙ  
СИСТЕМЫ

Рассмотрим задачу синтеза цилиндрической бифокальной двухзеркальной системы, с одной стороны которой расположены два симметричных относительно оси  $y$  (рис. 1) фокуса (точки идеальной фокусировки  $F_1$  и  $F_2$ ) с декартовыми координатами  $(x_{F_1}, y_{F_1})$  и  $(x_{F_2}, y_{F_2})$ . При положении источника цилиндрической волны в каждом из этих фокусов с другой стороны бифокальной системы формируются два симметричных относительно оси  $y$  плоских фронта.

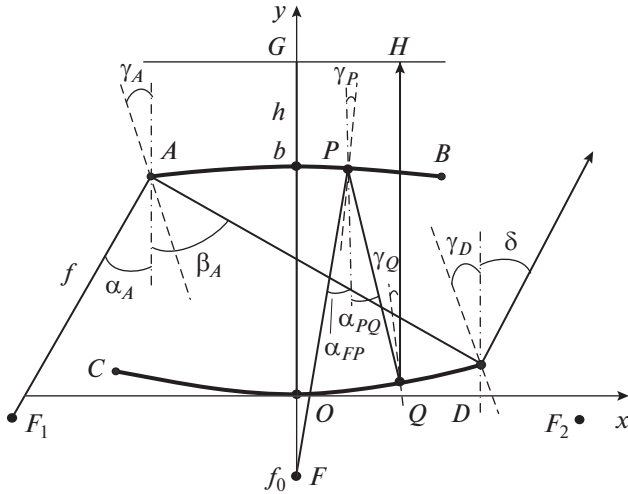


Рис. 1. Начальные участки зеркал.

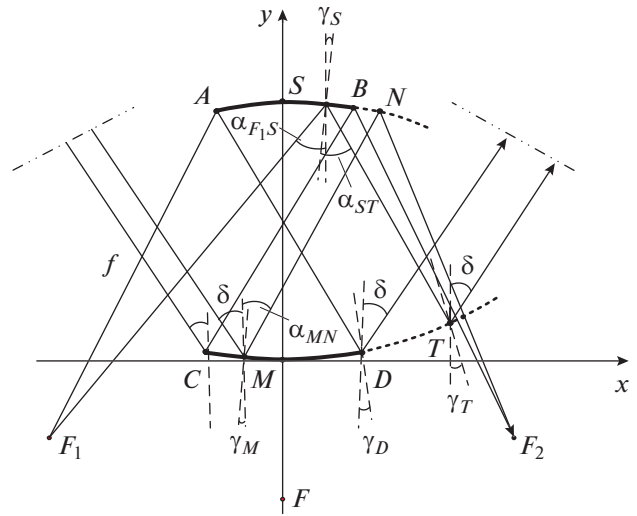


Рис. 2. К определению новых участков зеркал.

Пусть форма вспомогательного (первого) и основного (второго) зеркала описываются неизвестными четными функциями  $y_1(x)$  и  $y_2(x)$  соответственно, а функция  $y_{10}(x)$ , описывающая начальный участок вспомогательного зеркала, задана, т.е. на интервале  $[-x_0, x_0]$  функция  $y_1(x) = y_{10}(x)$  известна. При этом поверхности первого и второго зеркал пересекают ось  $y$  в точках  $(0, b)$  и  $(0, 0)$  соответственно (рис. 1). Потребуем, чтобы лучи из источника, расположенного в точке  $F_0$  с координатами  $(0, -f_0)$  после двух отражений от зеркал формировали плоский фронт  $y = h$ , где  $h$  – произвольная постоянная. При этом луч, идущий вдоль оси  $y$ , падает на первое зеркало в точке  $(0, b)$ , отражается от него, падает на второе зеркало в точке  $(0, 0)$ , снова отражается и снова идет вдоль оси  $y$ . Эйконал от источника до фронта этого (осевого) луча имеет вид

$$L_0 = f_0 + 2b + h. \quad (1)$$

Пусть другой луч, выходящий из точки  $F_0$ , падает на первое зеркало в точке  $P$  с координатами  $(x_p, y_p)$ , отражается от него, падает на второе зеркало в точке  $Q$  с координатами  $(x_q, y_q)$  и отражается от него параллельно оси  $y$ . При этом его эйконал определяется формулой

$$L = \sqrt{x_p^2 + (y_p + f_0)^2} + PQ + h - y_p - PQ \cos(\alpha_{PQ}), \quad (2)$$

где  $\alpha_{PQ} = \alpha_{FP} - 2\gamma_p$  – угол между осью  $y$  и отрезком  $PQ$ ;  $\alpha_{FP} = \arctg(x_p/(y_p - y_F))$  – угол между осью  $y$  и падающим лучом в точке  $P$ ;  $\gamma_p = \arctg(y'_0(x_p))$  –

угол между осью  $y$  и нормалью первому зеркалу в точке  $P$ ;  $PQ$  – расстояние от точки  $P$  до точки  $Q$ .

Потребуем, чтобы все лучи, выходящие из точки  $F$  после двух отражений от зеркал, были параллельно оси  $y$  и формировали плоский фронт на выходе системы. Для этого необходимо равенство эйконалов всех лучей (от источника до фронта). Потребуем, чтобы эйконалы всех лучей были равны эйконалу центрального луча:

$$\sqrt{x_p^2 + (y_p + f_0)^2} + PQ - y_p - PQ \cos(\alpha_{PQ}) = f_0 + 2b. \quad (3)$$

Решение этого уравнения имеет вид

$$PQ = \frac{f_0 + 2b + y_p - \sqrt{x_p^2 + (y_p + f_0)^2}}{1 - \cos(\alpha_{PQ})}. \quad (4)$$

Зная расстояние от точки  $P$  до точки  $Q$  и угол  $\alpha_{PQ}$ , нетрудно найти координаты точки  $Q$ :

$$\begin{aligned} x_q &= x_p + PQ \sin(\alpha_{PQ}), \\ y_q &= y_p + PQ \cos(\alpha_{PQ}). \end{aligned} \quad (5)$$

Множество точек  $Q$  образует начальный участок второго зеркала.

Для реализации на стыках начальных участков с соседними непрерывности функций, описывающих форму поверхности зеркал и их производных, необходимо, чтобы луч плоской волны, падающей на зеркало под углом к оси  $y$  после отражения в точке  $D$  попадал в точку  $A$ , а после отражения в точке  $A$  – в фокус  $F_1$ . Из геометрии, представленной на рис. 2, нетрудно найти координаты этого фокуса, а также фокуса  $F_2$ , учиты-

вая, что он симметричен фокусу  $F_1$  относительно оси  $y$ :

$$\begin{aligned} x_{F_1} &= x_A - f \sin(\alpha_{AF_1}), \\ y_{F_1} &= y_A - f \cos(\alpha_{AF_1}), \\ x_{F_2} &= -x_{F_1}; \quad y_{F_2} = y_{F_1}, \end{aligned} \quad (6)$$

где  $x_A = -x_0$ ;  $y_A = y(-x_0)$ ;  $\alpha_{AF_1} = \arctg((x_D - x_A)/(y_D - y_A)) + 2 \arctg(y'(x_A))$  – угол между осью  $y$  и линией, соединяющей фокус  $F_1$  с краем (точка  $A$ ) начального участка вспомогательного зеркала;  $f$  – расстояние от края начального участка до фокуса.

Рассмотрим луч, который из фокуса  $F_1$  падает на первое зеркало в точке  $A$ , отражается и падает на второе зеркало в точке  $D$ . Из геометрии рис. 1 следует, что угол выхода луча из системы определяется формулой

$$\delta = \alpha_{AD} - 2\arctg(y_2'(x_D)), \quad (7)$$

где  $y_2'(x_D)$  – первая производная функции  $y_2(x)$  в точке  $D$ .

Для определения нового участка второго зеркала предположим, что луч из фокуса  $F_1$  падает на на-

чальный участок первого зеркала, отражается от него в точке  $S$  с координатами  $(x_S, y_S)$ , падает на второе зеркало в точке  $T$  с координатами  $(x_T, y_T)$  и отражается под углом  $\delta$  (см. рис. 2). Отсюда получаем угол между осью  $y$  и падающим от точки  $F_1$  в точку  $S$  лучом  $\alpha_{F_1S} = \arctg((x_S - x_{F_1})/(y_S - y_{F_1}))$  и угол  $\alpha_{ST} = \alpha_{F_1S} - 2\gamma_S$  между осью  $y$  и лучом, отраженным от зеркала в точке  $S$ .

Для того чтобы двухзеркальная система формировала на выходе плоский фронт, необходимо равенство эйконолов всех лучей, которые выйдут из фокуса  $F_1$  и после отражения от зеркал идут параллельно (под углом  $\delta$  к оси  $Y$ ). Отсюда получаем уравнение

$$\begin{aligned} ST + (x_D - x_S - ST \sin(\alpha_{ST})) \sin(\delta) + \\ + (y_D - y_S + ST \cos(\alpha_{ST})) \cos(\delta) = \\ = f_0 + l_0 - \sqrt{(x_{F_1} - x_S)^2 + (y_{F_1} - y_S)^2}, \end{aligned} \quad (8)$$

где  $l_0 = \sqrt{(x_C - x_B)^2 + (y_C - y_B)^2}$ ;  $ST$  – расстояние от точки  $S$  до точки  $T$ .

Решение этого уравнения имеет вид

$$ST = \frac{f_0 + l_0 - \sqrt{(x_S - x_{F_1})^2 + (y_S - y_{F_1})^2} + (x_S - x_D) \sin(\delta) + (y_S - y_D) \cos(\delta)}{(1 - \sin(\alpha_{ST}) \sin(\delta) + \cos(\alpha_{ST}) \cos(\delta))}. \quad (9)$$

Зная длину  $ST$  и угол  $\alpha_{ST}$ , можно определять координаты точки  $T$  по формулам

$$x_T = x_S + ST \sin(\alpha_{ST}), \quad y_T = y_S - ST \cos(\alpha_{ST}). \quad (10)$$

Множество точек  $T$  образует новый участок второго зеркала. При этом функция  $y_2(x)$  и ее первая производная также непрерывны на стыке начального участка второго зеркала с его новым (соседним) участком.

Для определения нового участка первого зеркала рассмотрим падение плоской волны на второе зер-

кало. Пусть луч, который падает на начальный участок второго зеркала в точке  $M$  с координатами  $(x_M, y_M)$  под углом  $\delta$  к оси  $y$ , отражается от второго зеркала и падает на первое зеркало в точке  $N$  с координатами  $(x_N, y_N)$ , снова отражается и проходит через фокус  $F_2$  (см. рис. 2). Угол между осью  $y$  и отраженным лучом в точке  $M$  равен  $\alpha_{MN} = \delta - 2\gamma_M$ .

Приравнивая эйконы лучей, отраженных от разных точек  $M$  зеркала, получим уравнение

$$MN + \sqrt{(x_M + MN \sin(\alpha_{MN}) - x_{F_2})^2 + (y_N + MN \cos(\alpha_{MN}) - y_{F_2})^2} - d_C - l_0 - f + d_M = 0, \quad (11)$$

где  $d_M$  – расстояние от точки  $M$  до фронта волны;  $d_C$  – расстояние от точки  $C$  до фронта волны.

Решение этого уравнения имеет вид

$$\begin{aligned} MN = \\ = \frac{A^2 - (y_M - y_{F_2})^2 - (x_M - x_{F_2})^2}{2A + 2(x_M - x_{F_2}) \sin(\alpha_{MN}) + 2(y_M - y_{F_2}) \cos(\alpha_{MN})}, \end{aligned} \quad (12)$$

где  $A = l_0 + f + 2(x_C - x_M) \sin(\delta) + 2(y_C - y_M) \cos(\delta)$ .

Зная расстояние  $MN$  и угол  $\alpha_{MN}$ , координаты точки  $N$  можно найти по формулам

$$\begin{aligned} x_N &= x_M + MN \sin(\alpha_{MN}), \\ y_N &= y_M + MN \cos(\alpha_{MN}). \end{aligned} \quad (13)$$

Множество точек  $N$  образует новый участок первого зеркала. При этом функция  $y_1(x)$  и ее первая производная непрерывны на стыке начального отрезка с новым.

Для обеспечения непрерывности амплитудного распределения отраженных волн в первом приближении геометрической оптики необходимо, чтобы вторые производные функций, описывающих поверхности зеркал, были непрерывными. Первая производная функции  $y_1(x)$  в точке  $N$  имеет вид

$$y'_N = \text{tg}(-\gamma_N) = \text{tg}\left(\frac{\alpha_{MN} - \alpha_{F2}}{2}\right). \quad (14)$$

Так как координаты точки  $N$  определяются через координаты точки  $M$ , вторую производную второго отрезка первого зеркала в точке  $N$  определяем дифференцированием его первой производной в точке  $N$  по координате  $x_M$ :

$$y''_N(x_M) = \frac{d(y'_N)}{d(x_N)} = \left(\frac{d(y'_N)}{d(x_M)}\right) / \left(\frac{d(x_N)}{d(x_M)}\right) = \frac{(\alpha'_{MN}(x_M) - \alpha'_{F2}(x_M))(1 + y'^2_N)}{2x'_N(x_M)}. \quad (15)$$

Для того чтобы вторая производная первого зеркала на стыках была непрерывной, значение второй производной первого участка в точке  $B$  должно равняться значению второй производной в точке  $N$ , когда точки  $M$  и  $C$  совпадают. Заменим  $x_M$  на  $-x_0$  в выражении для второй производной (15) и приравняем его значению второй производной начального отрезка первого зеркала в точке  $B$ . В результате получим уравнение

$$\frac{(y_0'^2 + 2T_0y_0' - 1)x'_N - ((1 - y_0'^2)T_0 - 2y_0')y'_N}{f(y_0'^2 + 1)\sqrt{T_0^2 + 1}} + \alpha'_0 + \frac{2y_0''x'_N}{1 + y_0'^2} = 0, \quad (16)$$

где

$$T_0 = \frac{S_b(f_0 + 2b + y_0 - \sqrt{x_0^2 + (y_0 + f_0)^2}) + 2x_0(1 + C_b)}{(1 + C_b)C_b l_x}; \quad S_b = \frac{y_0'(y_0 + f_0) + x_0}{(1 + y_0)\sqrt{(y_0 + f_0)^2 + x_0^2}};$$

$$C_b = \frac{(y_0 + f_0) + y_0'x_0}{(1 + y_0)\sqrt{(y_0 + f_0)^2 + x_0^2}}; \quad \beta'_0 = \frac{y_0 + f_0 - x_0y_0'}{x_0^2 + (y_0 + f_0)^2} - \frac{2y_0''}{1 + y_0'^2};$$

$$l'_x = \frac{\left(-y_0' + \frac{x_0 + (y_0 + f_0)y_0'}{\sqrt{x_0^2 + (y_0 + f_0)^2}}\right)(1 + C_b) + S_b\beta'_0(\sqrt{x_0^2 + (y_0 + f_0)^2} - f_0 - 2b_1 - y_0)}{(1 + C_b^2)},$$

$$\beta_0 = \text{arctg}\left(\frac{x_0}{y_0 + f}\right) - \text{arctg}(y_0'); \quad l_x = \frac{f_0 + 2b_1 + 2b_2 + y_0 - \sqrt{x_0^2 + y_0^2}}{1 + C_b};$$

$$\alpha'_0 = \frac{2\beta'_0}{(1 + l_x C_b \beta'_0 + l'_x S_b)}; \quad S_T = \frac{T_0(1 - y_0'^2) + 2y_0'}{(1 + y_0'^2)\sqrt{1 + T_0^2}};$$

$$C_T = \frac{1 - y_0'^2 - 2T_0y_0'^2}{(1 + y_0'^2)\sqrt{1 + T_0^2}}; \quad A = \sqrt{(x_0 + l_x S_b)^2 + l_x^2 C_b^2} + f;$$

$$A_1 = \frac{S_b - T_0(1 + C_b)}{(1 + C_b)\sqrt{1 + T_0^2}}; \quad B = A^2 + (l_x C_b - f C_T)^2 - (l_x S_b - f S_T)^2;$$

$$B_1 = 2AA_1 + \frac{2(l_x C_b - f C_T)^2 S_b}{1 + C_b} - (l_x S_b - f S_T);$$

$$C_1 = 2A_1 + \frac{2\alpha'(l_x C_b - f C_T - (l_x S_b - f S_T)T_0)}{\sqrt{1 + T_0^2}} - \frac{2S_b}{(1 + C_b)\sqrt{1 + T_0^2}};$$

$$C = 2A + \frac{2(l_x C_b - f C_T)T_0 + 2(l_x S_b - f S_T)}{\sqrt{1 + T_0^2}}; \quad l_0 = \frac{B}{C};$$

$$l'_0 = \frac{B_1 C - B C_1}{C^2}; \quad x'_N = 1 + \frac{l'_0 T_0}{\sqrt{1 + T_0^2}} + \frac{l_0 \alpha'_0}{\sqrt{1 + T_0^2}}; \quad y'_N = \frac{S_b}{1 + C_b} + \frac{l'_0}{\sqrt{1 + T_0^2}} + \frac{l_0 \alpha'_0 T_0}{\sqrt{1 + T_0^2}},$$

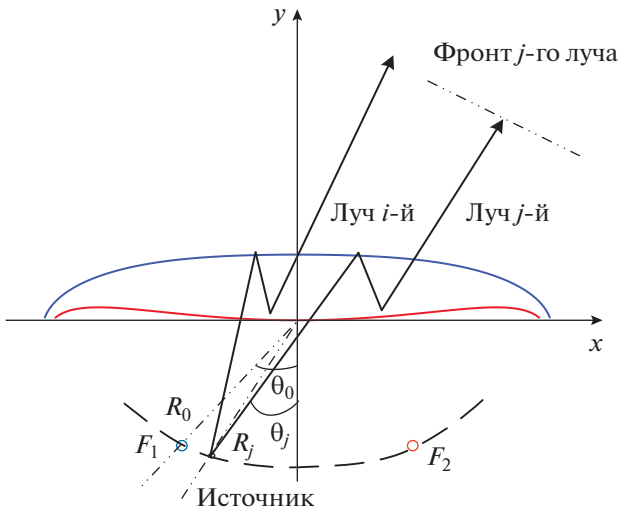


Рис. 3. Геометрия лучей в двухзеркальной системе.

$y_0 = y_1(x_0)$ ,  $y'_0 = y'_1(x_0)$ ;  $y''_0 = y''_1(x_0)$  — значения функции  $y_1(x)$ , ее первой и второй производной соответственно в точке  $B$  с координатами  $(x_0, y_0)$ .

## 2. СИНТЕЗ И ОПТИМИЗАЦИЯ БИФОКАЛЬНЫХ ДВУХЗЕРКАЛЬНЫХ СИСТЕМ

Задача синтеза и оптимизации состоит в нахождении формы зеркал и фокальной кривой, обеспечивающие минимальную величину СКА эйконала на выходе двухзеркальной системы, которую будем определять по формуле

$$\sigma = \frac{1}{D} \sqrt{\frac{1}{n} \sum_{i=1}^n (L_i - L_0)^2}, \quad (17)$$

где  $L_i$  — эйконал луча с номером  $i$ ;  $n$  — количество учтенных лучей,  $D$  — размер апертуры системы;  $L_0$  — эйконал луча, относительно которого СКА имеет минимальное значение (этот луч будем называть опорным).

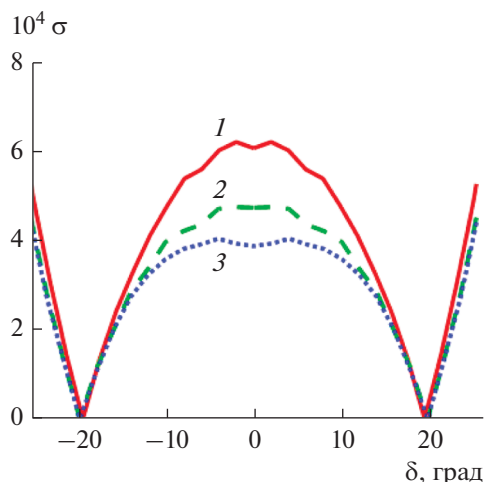
Зададим исходные параметры системы: расстояние между зеркалами  $b$ , полуразмер начального отрезка  $x_0$ , расстояние  $f$  от конца начального отрезка до фокуса  $F_1$ , расстояние  $p$  от первого зеркала до фокуса  $F_0$  начальной системы, и используем изложенный выше алгоритм синтеза бифокальной системы с начальным отрезком первого зеркала в виде полинома второго порядка  $y(x) = ax^2 + b$  и четвертого  $y(x) = a_4x^4 + a_2x^2 + b$ . Один из коэффициентов полинома находим из условия непрерывности второй производной функций, описывающих форму зеркал (16). В первом случае, подставляя  $y_0 = ax_0^2 + b$ ;  $y'_0 = 2ax_0$ ;  $y''_0 = 2a$  в уравнение (16),

находим  $a$ . Во втором случае аналогично находим  $a_4$  при заданном значении  $a_2$ , которое в данном случае является дополнительной степенью свободы для оптимизации. Реализуя описанный выше алгоритм синтеза отрезков зеркал  $m$  раз, находим форму зеркал, которые состоят из  $2m + 1$  отрезков.

Проведем анализ СКА двухзеркальной системы, синтезированной для фиксированного значения угла зрения в зависимости от ее параметров. Для вычисления СКА системы по формуле (17) необходимо найти эйконалы лучей, для определения которых, в свою очередь, необходимо знать направление фронта и величину эйконала  $L_0$  опорного луча, относительно которого будет рассчитываться СКА. Если источник находится в фокусе, углы выхода всех лучей из системы одинаковы и определяются формулой (7). При смещенном положении источника углы выхода лучей будут разные. Найдем  $k$  таких лучей и выберем из них несколько опорных, проходящих вблизи центра двухзеркальной системы. По формуле (17) найдем СКА для каждого опорного луча с соответствующим (ортогональным) фронтом (рис. 3) и выберем из полученных величин СКА минимальное значение. Полученное приближенное значение СКА уточняем, меняя угол выхода опорного луча и находя минимум СКА.

Для определения фокальной кривой найдем геометрическое место положений источника (см. рис. 3), которые обеспечивают наименьшую величину СКА. Декартовы и полярные координаты источника связаны формулами  $x_{Fj} = -R_j \sin(\theta_j)$ ,  $y_{Fj} = -R_j \cos(\theta_j)$ . Задача состоит в том, чтобы найти оптимальную функцию  $R_j(\theta_j)$ . Для 20 значений угла  $\theta_j$  находим  $R_j$  с использованием стандартной численной процедуры нахождения минимума. Применяя сплайн-интерполяцию, находим функцию  $R_j(\theta_j)$  и таким образом получаем фокальную кривую.

Проведем исследование зависимости величины СКА от параметров бифокальной системы. На рис. 4 представлены зависимости СКА от угла зрения системы с разным размером начального участка  $2x_0$  в виде параболы, разными расстояниями между зеркалами  $b_1$  и разным числом синтезированных отрезков  $m$ . Видно, что СКА медленно уменьшается при увеличении  $x_0$ . Это объясняется тем, что только система из начальных участков имеет фокус в точке  $F(0, -f_0)$  на оси  $x$ . Новые синтезированные участки уже не обеспечивают точную фокусировку при положении источника в этой точке, их число при заданной апертуре системы увеличивается при уменьшении  $x_0$  и это, соответственно, приводит к увеличению СКА.



**Рис. 4.** Зависимость СКА бифокальной двухзеркальной системы с начальным участком первого зеркала в виде параболы в зависимости от угла зрения при  $f = 0.6, p = 0.7$  и разных значениях  $x_0$  и  $b_1$ : кривая 1 –  $x_0 = 0.026, b_1 = 0.146$ ; кривая 2 –  $x_0 = 0.0455, b_1 = 0.2495$ , кривая 3 –  $x_0 = 0.065, b_1 = 0.355$ .

При увеличении числа синтезированных отрезков зеркал их края приближаются друг к другу. В результате зеркала либо пересекаются (рис. 5а), либо у них появляются точки возврата (рис. 5б). Параметры системы, при которых у зеркала при построении первого нового участка возникают точки возврата или решение задачи синтеза перестает существовать, будем называть критическими.

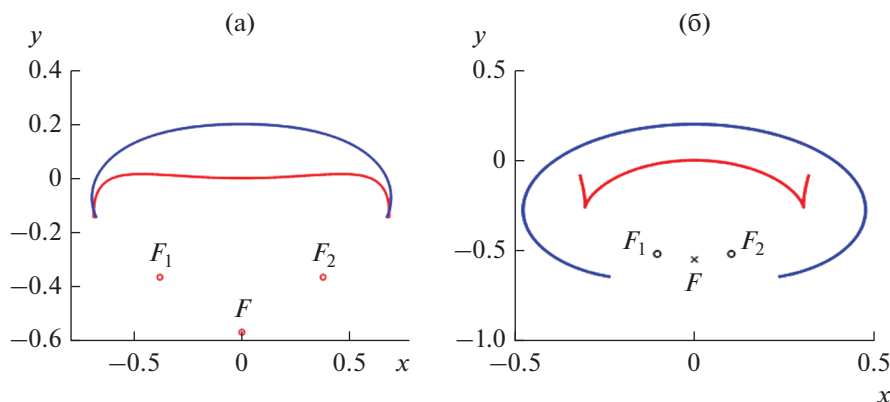
Далее исследуем СКА бифокальной системы в зависимости от параметров  $f$  и  $p = f_0 + b$  для трех наборов фиксированных параметров: расстояния  $b$  между зеркалами и  $x_0$  (отношение  $b/x_0$  определяет угол зрения). Линии уровня СКА для трех наборов

фиксированных параметров, соответствующих значениям угла зрения 50, 70 и 105 град в зависимости от параметров  $f$  и  $p$ , показаны на рис. 6а–6в. На рисунках видны границы областей существования решения, а также уменьшение величины СКА по мере приближения параметров системы к этим границам. При этом линии уровней СКА идут почти параллельно границе.

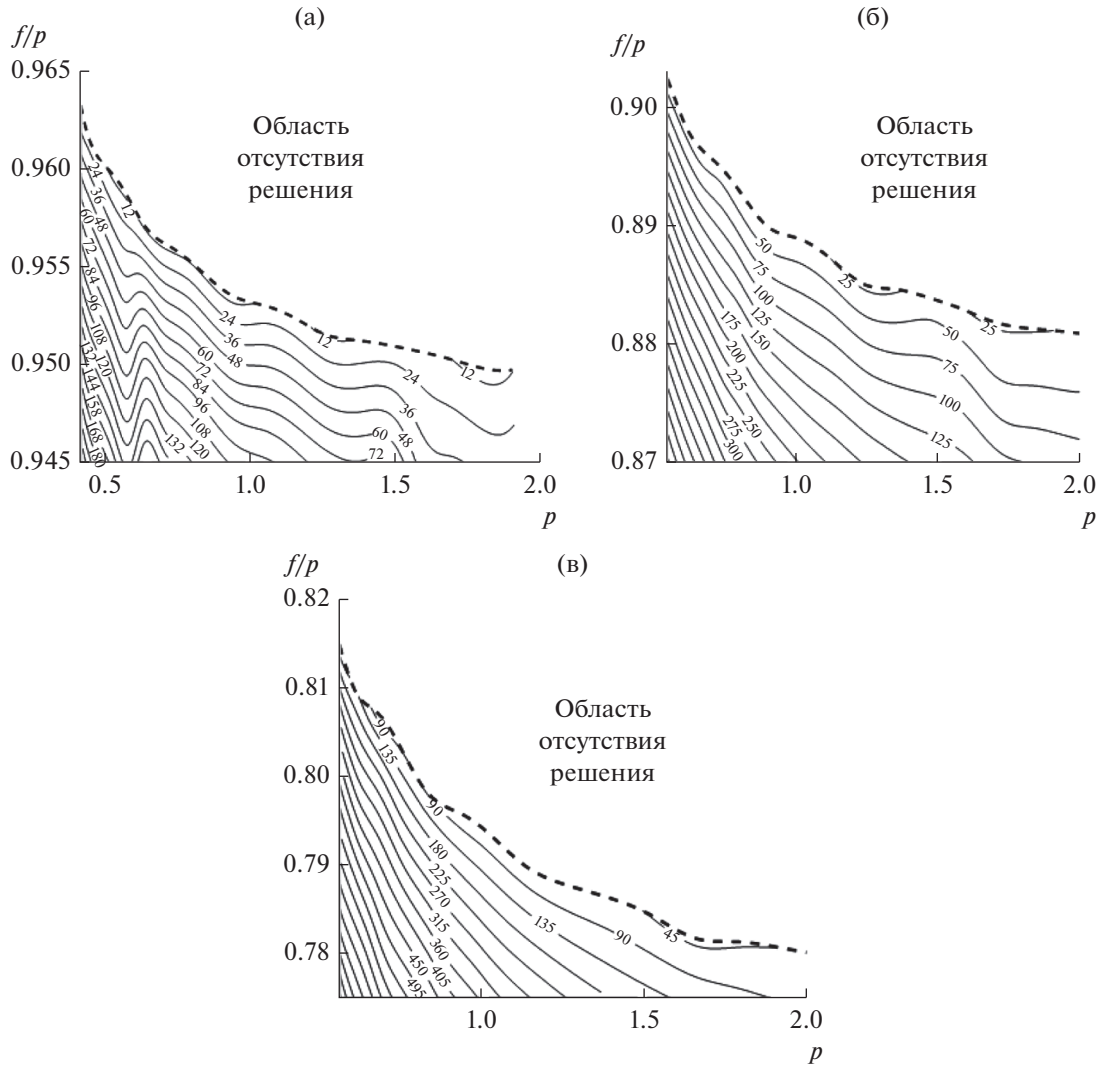
На рис. 7 представлены зависимости СКА от параметра  $p$  системы при движении вдоль границы (при критической величине  $f$ ) для тех же трех наборов фиксированных параметров. Из рисунка видно, что зависимость СКА от  $p$  имеет колебательный характер, при этом для больших углов зрения средняя величина СКА при уменьшении  $p$  уменьшается. Минимальные величины СКА для исследованного интервала ( $p < 2.5$ ) и углов зрения 50, 70 и 105 град равны  $8.0 \times 10^{-6}, 2.2 \times 10^{-5}$  и  $4.1 \times 10^{-5}$  соответственно.

На рис. 8 приведены зависимости СКА бифокальной двухзеркальной системы от угла зрения для трех оптимальных наборов параметров, которые соответствуют трем углам зрения 50, 70 и 105 град. Как видно из рисунка, при увеличении угла зрения примерно в два раза СКА увеличивается в пять раз. При этом полученные в результате минимальные величины СКА в 60 раз меньше СКА двухзеркальных бифокальных систем, синтезированных в работе [13], и близки к СКА трехфокальных систем [14, 15].

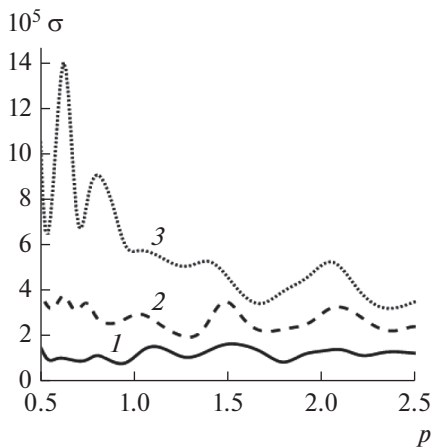
Величина апертуры  $D$  для разных наборов параметров получается разной. Для анализа полученных результатов удобно считать все величины относительно апертуры системы. Для этого достаточно умножить все геометрические размеры на множитель, равный обратной величине  $D$ . В результате для систем с  $D = 1$  и углами зрения 50, 70



**Рис. 5.** Геометрия бифокальной двухзеркальной системы с параметрами  $n = 1.6, b_1 = 0.2$ , а)  $x_0 = 0.006, f = 0.65, p = 0.77$ ; б)  $x_0 = 0.035, f = 0.72, p = 0.7479$ .



**Рис. 6.** Линии уровня  $10^6\sigma$  бифокальной зеркальной системы в зависимости от параметров  $p$  и  $f/p$  при  $b = 0.1$  и разных углов зрения: а – угол зрения 50 град ( $x_0 = 0.0175$ ), б – угол зрения 70 град ( $x_0 = 0.028$ ), в – угол зрения 105° ( $x_0 = 0.042$ ).



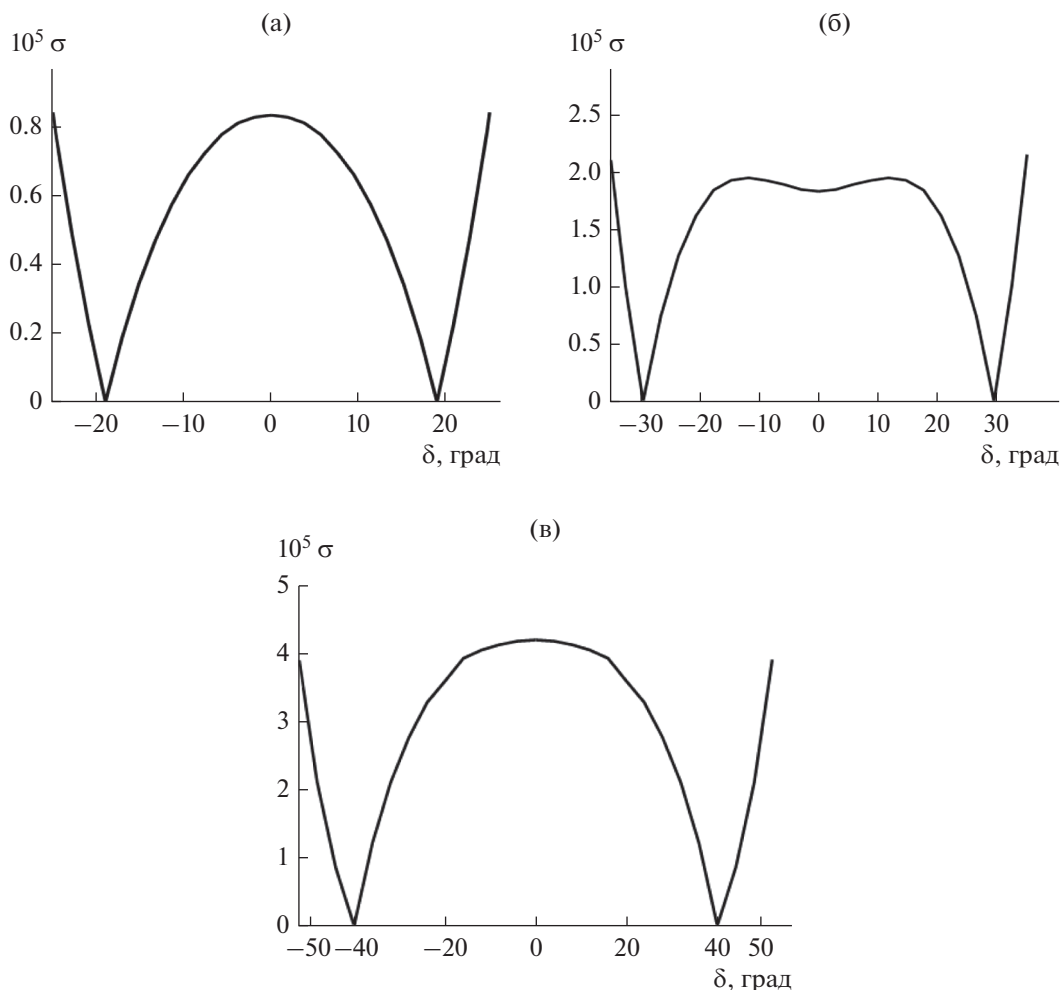
**Рис. 7.** Зависимости СКА бифокальной зеркальной системы для критических значений  $f$  от параметра  $p$  при  $b = 0.1$ : кривая 1 – угол зрения 50 град ( $x_0 = 0.0175$ ), кривая 2 – угол зрения 70 град ( $x_0 = 0.028$ ), кривая 3 – угол зрения 105 град ( $x_0 = 0.042$ ).

и 105 град величина  $p$  равна 1.30, 1.14 и 1.41, а расстояние между зеркалами  $b$  равно соответственно 0.073, 0.089 и 0.061.

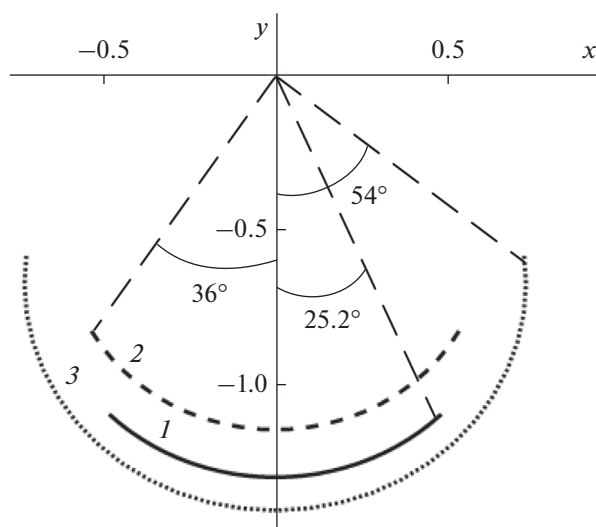
На рис. 9 показаны фокальные кривые синтезированных систем с оптимальными параметрами для углов зрения 50, 70 и 105 град. Видно, что с увеличением угла зрения в два раза угловой размер фокальной кривой увеличивается также в два раза, при этом фокальный размер меняется немонотонно, а различие между минимальным и максимальным размерами составляет 23%.

Дальнейшее исследование показало, что использование дополнительной степени свободы при задании формы первого участка вспомогательного зеркала в виде полинома четвертого порядка не приводит к дополнительному уменьшению СКА.





**Рис. 8.** Зависимость СКА оптимальной бифокальной двухзеркальной системы от угла зрения: а –  $x_0 = 0.0175, f = 1.695, p = 1.784$ ; б –  $x_0 = 0.028, f = 1.139, p = 1.287$ ; в –  $x_0 = 0.042, f = 1.793, p = 2.306$ .



**Рис. 9.** Фокальные кривые синтезированных двухзеркальных систем: кривая 1 – угол зрения 50 град ( $x_0 = 0.0175$ ), кривая 2 – угол зрения 70 град ( $x_0 = 0.028$ ), кривая 3 – угол зрения 105 град ( $x_0 = 0.042$ ).

### ЗАКЛЮЧЕНИЕ

На основе полученных результатов можно сделать следующие выводы.

1. Разработанная методика позволяет синтезировать и оптимизировать двухзеркальные бифокальные цилиндрические системы по минимуму СКА.
2. Синтезированные и оптимизированные в результате разработанной методики бифокальные двухзеркальные системы имеют СКА в десятки раз меньше, чем известные.
3. Увеличение угла зрения в два раза приводит к увеличению СКА в пять раз, при этом различие между минимальным и максимальным продольным размером составляет 23%.
4. Задание формы начального участка вспомогательного зеркала в виде полинома четвертого порядка вместо полинома второго порядка и использование дополнительной степени свободы



не приводит к дополнительному уменьшению СКА.

#### ФИНАНСИРОВАНИЕ РАБОТЫ

Работа выполнена за счет бюджетного финансирования в рамках государственного задания по теме 0030-2019-006.

#### СПИСОК ЛИТЕРАТУРЫ

1. Кинбер Б.Е., Классен В.И., Стеблин В.И. // Волны и дифракция. М., 1981. С. 101.
2. Кинбер Б.Е., Классен В.И., Стеблин В.И. // РЭ. 1983. Т. 23. № 8. С. 1509.
3. Rappaport C.M. // IEEE Trans. 1984. V. AP-32. № 11. С. 1196.
4. Вааз И.Л., Кинбер Б.Е. // РЭ. 1986. Т. 31. № 8. С. 1507.
5. Классен В.И., Кинбер Б.Е., Шишилов А.В., Тоболев А.К. // Антенны. 1987. № 34. С. 324.
6. Бодулинский В.К. // Компьютерная оптика. 1987. № 1. С. 79.
7. Craig W.P., Rappaport C.M., Jeffrey S.M. // IEEE Trans. 1993. V. AP-41. № 11. P. 1481.
8. Shishlov A.V., Shitikov A.M. // Proc. 27 Sci. Conf. on Antenna Theory and Technology. Moscow. 1994. P. 227.
9. Pino A.G., Rappaport C.M., Rubinos J.O., Lorenzo M.E. // IEEE Trans. 1995. V. AP-43. № 10. P. 1022.
10. Lorenzo M.E., Rappaport C.M., Pino A.G. // Proc. IEEE APS Intern. Symp. 2001. V. 2. P. 284.
11. Pino A.G., Lombart N., Gonzalez V.B., Rubino L.O. // IEEE Trans. 2012. V. AP-60. № 9. P. 4119.
12. Plastikov A.N. // IEEE Trans. 2016. V. AP-64. № 7. P. 3251.
13. Калошин В.А., Ле Д.Т. // Журн. радиоэлектроники. 2018. № 9. <http://jre.cplire.ru/jre/sep18/13/text.pdf>.
14. Калошин В.А., Нгием Х.Д., Фролова Е.В. // Журн. радиоэлектроники. 2018. № 1. <http://jre.cplire.ru/jre/jan18/3/text.pdf>.
15. Калошин В.А., Ле Д.Т. // Журн. радиоэлектроники. 2020. № 4. <http://jre.cplire.ru/jre/apr20/4/text.pdf>.